

В результате облучения образцов концентрация доноров в них сначала растет с дозой облучения, а по достижении некоторого ее значения начинает падать (рис. 1). Зависимость величины максимальной концентрации электронов от исходной концентрации НЗ при фиксированных интенсивности и температуре облучения говорит в пользу наличия предельного значения концентрации доноров, достижимого при данных условиях. Поэтому при исходной концентрации НЗ, превышающей  $5 \cdot 10^{17} \text{ см}^{-3}$ , инверсии типа проводимости не наблюдалось, хотя характер закономерности процесса накопления дефектов донорного типа оказывает темп генерации первичных радиационных дефектов. Так, возрастание плотности потока протонов при дозе выше  $10^{14} \text{ см}^{-2}$  и фиксированной температуре облучения приводит к снижению эффективности создания дефектов, являющихся донорами (рис. 2). Облучение инвертированных слоев при малой плотности потока протонов сопровождается быстрым уменьшением концентрации электронов в инвертированном слое, что при величине дозы  $8 \cdot 10^{15} \text{ см}^{-2}$  приводит к обратной инверсии типа проводимости.

Полученные результаты можно объяснить в предположении, что по мере увеличения дозы облучения происходит перестройка простых дефектов, являющихся донорами, в более сложные, которые либо оказываются нейтральными, либо обладают акцепторными свойствами. Возрастание интенсивности облучения приводит к увеличению темпа генерации сложных дефектов (см., например, [4]) и соответственно к уменьшению скорости введения доноров. Аналогичное явление наблюдается и при увеличении температуры облучения [1].

Возможно, однако, и одновременное образование радиационных дефектов донорного и акцепторного типа, имеющих принципиально разную природу: например, одни связаны с дефектами в подрешетке свинца, а другие — в подрешетке селена. У таких дефектов, очевидно, должны быть и различные энергетические пороги дефектообразования.

С целью получения дополнительных сведений о природе вводимых дефектов нами использовалось облучение слоев селенида свинца электронами различных энергий. Уменьшение энергии электронов до величины, достаточной только для смещения атомов селена, не приводило к прекращению генерации доноров, причем зависимость концентрации доноров от дозы облучения имела вид, аналогичный кривым, приведенным на рис. 1. Это позволило сделать вывод, что дефекты донорного и акцепторного типа связаны со смещением атомов в подрешетке селена.

#### Л и т е р а т у р а

- [1] Брудный В. Н., Войцеховский А. В., Кривов М. А., Петров А. С. // Физические основы радиационной технологии твердотельных электронных приборов. Киев, 1978. С. 24—36.
- [2] Wang C. C., Tao T. F., Sunier J. W. // J. Appl. Phys. 1974. V. 45. N 19. P. 3881—3884.
- [3] Брудный В. Н. и др. // ФТП. 1981. Т. 15. В. 8. С. 1606—1608.
- [4] Емцев В. В., Машовец Т. В. Примеси и точечные дефекты в полупроводниках. М., 1981. 248 с.

Получено 7.06.1988  
Принято к печати 21.07.1988

ФТП, том 23, вып. 1, 1989

#### О ДИФФУЗИИ ВОДОРОДА В КРЕМНИИ

Омельяновский Э. М., Пахомов А. В., Поляков А. Я.,  
Бородина О. М.

В последнее время внимание многих исследователей привлекает явление водородной пассивации примесей и дефектов в полупроводниках (см., например, обзор [1]). Важным аспектом проблемы является, конечно, изучение закономер-

ностей диффузии водорода в различных материалах. Для кремния экспериментальные исследования проводились в [<sup>2-6</sup>]. Сообщалось, что при температурах 100–200 °C скорость диффузии в *p*-Si значительно выше, чем в *n*-Si, а характер диффузионных профилей водорода в этих двух материалах в корне различный. В работах Пантелидеса [<sup>7</sup>] и Капицци и др. [<sup>8</sup>] для объяснения наблюдаемых эффектов предполагалось, что водород в Si — глубокий донор. Соответственно в *n*-Si нейтральный водород, легко образуя молекулы, становится сравнительно мало подвижным [<sup>2, 3</sup>]. В *p*-Si при низких температурах (меньше 200 °C) происходит движение преимущественно положительно заряженного водорода во встроенном электрическом поле, обусловленное неоднородной пассивацией [<sup>8</sup>], что позволяет хорошо описать сложный диффузионный профиль водорода в *p*-Si. Отметим, однако, что эксперименты по диффузии водорода в *n*-Si [<sup>3</sup>], на которых частично базируются модели [<sup>7, 8</sup>], проведены для тонких слоев, полученных ионной имплантацией фосфора в Si. Не исключено поэтому, что заметное торможение водорода в таких слоях может быть обусловлено наличием упругих напряжений и незалеченных радиационных дефектов на границе слоя. Более того, авторы [<sup>3</sup>] даже наблюдали накопление водорода на этой границе. Поэтому представлялось целесообразным воспроизвести эксперименты по диффузии водорода в кремнии на достаточно толстых эпитаксиальных слоях *n*- и *p*-типа, с тем чтобы исключить возможное влияние границы слоя.

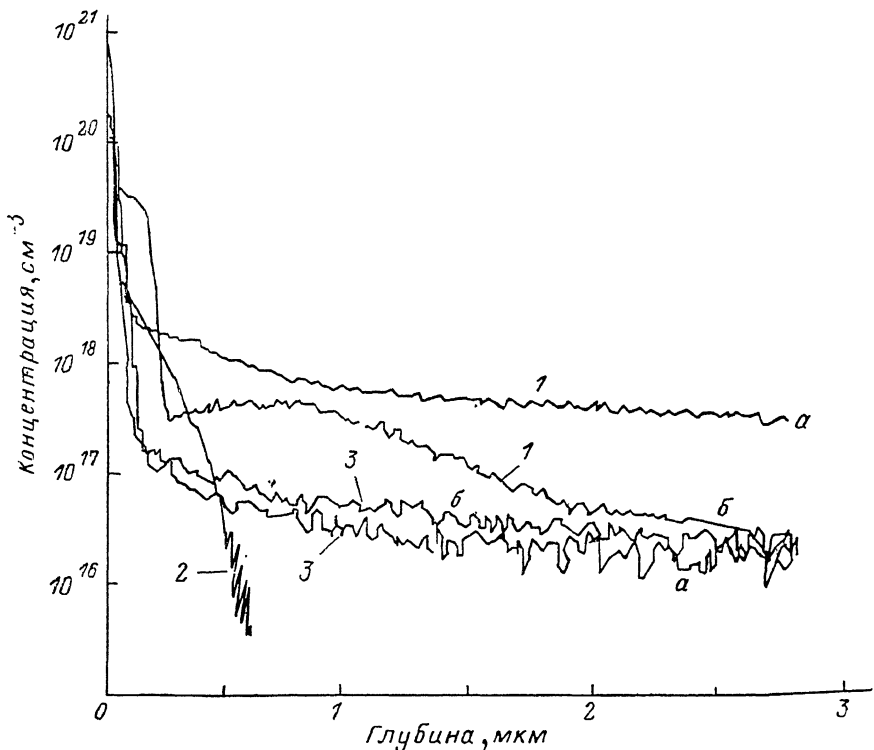
Для исследований были использованы полученные методом эпитаксии из жидкой фазы структуры *n*<sup>+</sup>-*p* и *p*<sup>+</sup>-*p*, в которых толщины эпитаксиальных слоев составляли ~7 мкм. *n*<sup>+</sup>-Слой был легирован фосфором (концентрация электронов ~1·10<sup>18</sup> см<sup>-3</sup>), *p*<sup>+</sup>-слой был легирован бором (концентрация дырок ~1.5·10<sup>18</sup> см<sup>-3</sup>), *p*-подложка, легированная бором, содержала 1.3·10<sup>15</sup> см<sup>-3</sup> дырок.

Введение атомарного дейтерия в образцы Si осуществлялось из микроволнового разряда (источник подробно описан в [<sup>9</sup>]). Температура гидрогенизации составляла 150 или 480 °C при времени обработки 15 мин. Дейтерий использовался вместо водорода для повышения чувствительности измерения профиля концентрации водорода в методе масс-спектрометрии вторичных ионов (МСВИ) [<sup>2</sup>]. Эти измерения проводились на ионном микроанализаторе IMS-3F, для распыления использовались ионы Cs<sup>+</sup>, ускоряющее напряжение составляло 10 кВ, ток ионного пучка (3–4)·10<sup>-9</sup> А. Абсолютная градуировка по концентрации проводилась с помощью измерения профиля дейтерия в имплантированных дейтерием образцах. Градуировка по глубине делалась с помощью определения профиломером глубины кратера, вытравленного в образце распыляющим ионным пучком. Подробнее методика описана в [<sup>10</sup>].

На рисунке показаны профили (кривые 1, *a*, *b*) распределения дейтерия в эпитаксиальных *p*<sup>+</sup>- и *n*<sup>+</sup>-слоях после обработки при 150 °C. Здесь же для сравнения приведен профиль распределения дейтерия в легированном фосфором образце кремния (профиль воспроизведен по данным работы [<sup>2</sup>], концентрация фосфора в образце составляла 10<sup>17</sup> см<sup>-3</sup>, гидрогенизация проводилась при 150 °C). Как хорошо видно, глубина проникновения дейтерия в толстую эпитаксиальную пленку значительно больше, чем в имплантированный фосфором слой. Если сравнивать между собой образцы *n*- и *p*-типа, то в *n*<sup>+</sup>-пленке глубина проникновения заметно меньше, чем в *p*<sup>+</sup>. Однако отметим, что и в *n*-образце, как и в образце, легированном бором, наблюдается плато в концентрации дейтерия, связанное, по всей видимости, с образованием комплексов водорода с донорами [<sup>4</sup>]. Как и следовало ожидать, концентрация на этом плато ниже, чем в случае *p*-Si (см. рисунок), что отражает более низкую эффективность пассивации доноров по сравнению с акцепторами в кремнии [<sup>4</sup>].

Интересным представляется результат обработки в дейтерии при 480 °C (см. рисунок, кривые, 3, *a*, *b*). Эта температура значительно выше температуры раз渲а комплексов водорода с акцепторами и донорами в кремнии [<sup>1</sup>]. Мы видим, что никаких плато в диффузионных профилях нет, профили для *n*- и *p*-Si практически одинаковы, а концентрация дейтерия значительно ниже концентраций бора и фосфора. По-видимому, в этой области температур диффузия преобладает над комплексообразованием, хотя результат, вероятно, будет зависеть от условий введения водорода и условий охлаждения.

Таким образом, наши результаты в общем подтверждают более высокую скорость диффузии водорода в *p*-Si по сравнению с *n*-Si. Однако различие в скоростях диффузии не так велико, как в случае ионно-имплантированных *n*-слоев,



Профили распределения дейтерия в образцах Si : D.

Образцы, гидрогенизированные при  $T$ ,  $^{\circ}\text{C}$ : 1, 2 — 150, 3 — 480; а и б соответствуют материалам *p*- и *n*-типа проводимости. Профиль 2 воспроизведен по данным работы [3].

а характер диффузионных профилей такой же, как в материале *p*-типа. Следовательно, явления, описанные авторами [3], в значительной мере связаны с захватом водорода на границе имплантированного слоя.

В заключение авторы хотели бы поблагодарить К. С. Голованивского, А. А. Балмашнова, Э. Кампса и А. М. Левченко за проведение гидрогенизации наших образцов.

#### Л и т е р а т у р а

- [1] Pearson S. J., Corbett J. W., Shi T. S. // Appl. Phys. A. 1987. V. 43. N 2. P. 153—195.
- [2] Johnson N. M., Moyer M. D. // Appl. Phys. Lett. 1985. V. 46. N 8. P. 787—789.
- [3] Johnson N. M. // Phys. Rev. B. 1985. V. 31. P. 5525—5528.
- [4] Johnson N. M., Herring C., Chadi D. J. // The Physics of Semiconductors / Ed. by O. Engstrom. Singapore, 1987. V. 2. P. 991—994.
- [5] Mogro-Campero A., Love R. P., Schubert R. // J. Electrochem. Soc. 1985. V. 132. N 8. P. 2007—2009.
- [6] Mikkelsen J. C., Jr. // Appl. Phys. Lett. 1985. V. 46. N 9. P. 882—884.
- [7] Pantelides S. T. // Appl. Phys. Lett. 1987. V. 50. N 15. P. 995—997.
- [8] Capizzi M., Mittiga A. // Appl. Phys. Lett. 1987. V. 50. N 14. P. 918—920.
- [9] Балмашнов А. А., Голованивский К. С., Кампс Э. К., Омельянновский Э. М., Пахомов А. В., Поляков А. Я. // Письма ЖТФ. 1986. Т. 12. В. 24. С. 1486—1489.
- [10] Бородина О. М., Гиммельфарб Ф. А., Орлов П. Б., Ухорская Т. А. // ЖАХ. 1986. № 12. С. 2164—2174.